

### (III - 19) 圧密パラメータに及ぼす供試体の寸法効果

防衛大学校 (学) 三輪 和美・(正) 正垣 孝晴

#### 1.はじめに

塑性指数  $I_p = (17 \sim 100)\%$ 、一軸圧縮強度  $q_u = (20 \sim 100)\text{kPa}$ 、軟弱粘土～軟岩という幅広い地盤材料に対し、直径  $d = 35\text{mm}$ 、高さ  $h = 80\text{mm}$  の標準寸法の 0 供試体と  $d = 15\text{mm}$ 、 $h = 35\text{mm}$  の S 供試体の強度・変形特性に有為差がないことが明らかにされた<sup>1)</sup>。この成果を用いて小径倍圧型水圧サンプラー(以後、45サンプラー)を新しく開発し、内径 75mm の通常のサンプラーと、特に強度特性に関して有為差がないことを示した<sup>2)</sup>。

本稿では、45サンプラーから得た試料の圧密特性を調べるために、標準圧密試験による圧密パラメータに及ぼす供試体の寸法効果が検討される。

#### 2.供試土と実験方法

供試土は浦安、徳山、岩国、尼崎から採取した小さな冲積・洪積海成粘性土である。指標的性質を表-1に示す。 $I_p = (27 \sim 68)\%$ 、 $q_u = (130 \sim 300)\text{kPa}$ 、過圧密比  $OCR = (0.8 \sim 2.6)$  の範囲の土である。尼崎は埋立荷重による圧密が終了していない未圧密粘土、浦安、

表-1 供試土の指標的性質

Sites	$W_n$ (%)	$I_p$ (%)	$\sigma_{vo}'$ (kPa)	$\sigma_p'$ $\sigma_{vo}'$	$\bar{q}_u$ (kPa)
Urayasu	59-63	27	160	2.6	153
Tokuyama	41-45	68	257	2.1	300
Iwakuni	61-67	49	186	1.2	135
Amagasaki	69-72	62	241	0.8	130

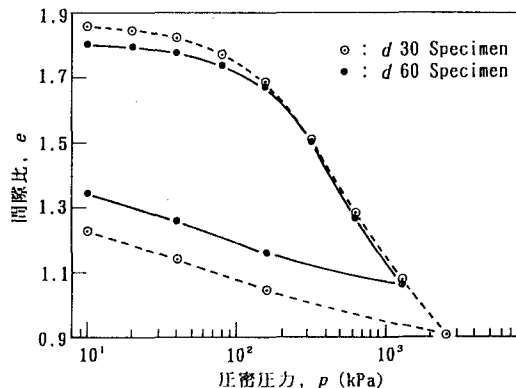


図-1 間隙比と圧密圧力の関係

徳山は洪積粘性土、岩国は沖積粘性土である。45サンプラーの実務への適用を考慮して、供試体寸法は直径  $d = 30\text{mm}$ 、高さ  $h = 20\text{mm}$  (以後、 $d = 30$ 供試体) と標準寸法の  $d = 60\text{mm}$ 、 $h = 20\text{mm}$  (同、 $d = 60$ 供試体) の 2 種類とした。JIS に従って、荷重増分比 1 の標準圧密試験を行った。

#### 3. 実験結果と考察

尼崎粘土に於し、 $e - \log p$ ,  $c_v$ ,  $m_v$ ,  $k$  と平均圧密圧力  $\bar{p}$  の関係を、それぞれ図-1, 2, 3, 4 に示す。両供試体の  $e_0$ ,  $\sigma_{vo}'$ ,  $C_c$ ,  $C_s$ ,  $\varepsilon_{vo}$  値を表-2 にまとめた。ここで、 $\varepsilon_{vo}$  は有効土被圧  $\sigma_{vo}'$  下の体積ひずみ<sup>3)</sup>である。 $p$  の小さい領域の  $e$  の差は、両供試体の初期間隙比  $e_0$  の差を反映しているが、圧密降伏応力  $\sigma_p'$  を過ぎた正規圧密領域で両供試体の  $e - \log p$  の関係に有為差はない。すなわち、両供試体の  $\sigma_{vo}'$ ,  $C_c$ ,  $C_s$  値は同じ

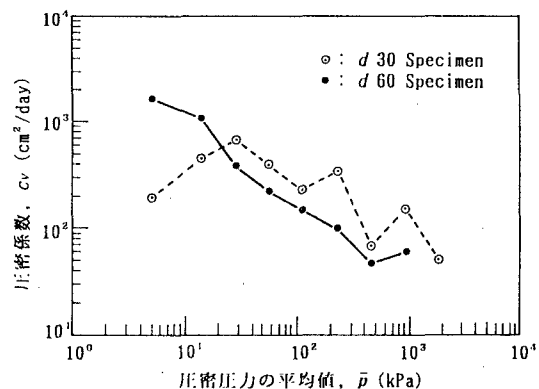


図-2 圧密係数と圧密圧力の平均値の関係

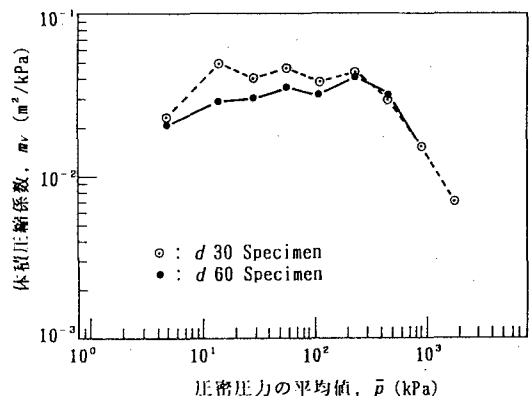


図-3 体積圧縮係数と圧密圧力の平均値の関係

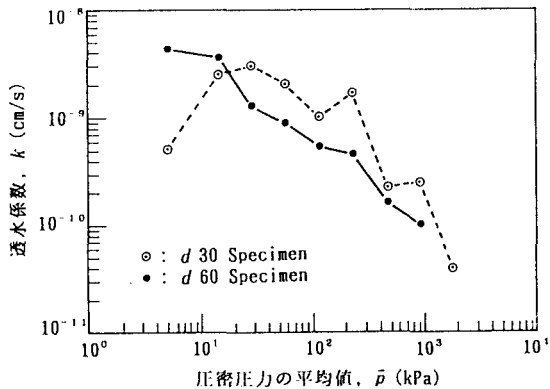


図-4 透水係数と圧密圧力の平均値の関係.

表-2 圧密試験結果 (尼崎)

Specimen	$e_0$	$\sigma_{p'}$ (kPa)	$C_c$	$C_s$	$\varepsilon_{vo}$ (%)
d 60	1.80	196	0.79	0.13	8.0
d 30	1.86	183	0.76	0.13	9.2

と判断される。 $c_v, m_v, k$  値はこれらの値を計算する時の $t_{90}$ 値の採り方によって値の変動が大きいことはよく知られている。 $e - \log p$ に供試体寸法が依存しないことから、図-2, 3, 4に示す両供試体の $c_v, m_v, k$  値の差は、この影響を反映したものと推察される。

$d 60$ に対する $d 30$ の $\sigma_{p'}$ ,  $C_c$ ,  $C_s$ 比と $I_p$ の関係を、それぞれ図-5, 6, 7に示す。 $\sigma_{p'}, C_c$ の各比は、それぞれ1を平均値として、(0.94~1.03), (0.62~1.15)の範囲にあり、 $I_p$ に依存しない。 $C_s$ 比は、(1.0~1.4)の範囲にあり、 $d 30$ の $C_s$ が $d 60$ のそれより約20%大きい。 $d 30$ の圧密荷重の最終値が $d 60$ のそれより大きいため、除荷後の膨張が大きいのが理由であると推察される。これらの傾向は、 $OCR, q_u$ に対しても等しく言えることを確認している。

#### 4. おわりに

本研究で用いた供試土の範囲において、 $d 30$ と $d 60$ の供試体の圧密パラメータに有為差がないと判断された。 $I_p, q_u$ 、調査地の異なる粘土に対し、同様な検討を行って45サンプラーの実務への適用を図りたい。

#### 参考文献

- 正垣：携帯型一軸圧縮試験機とその適用、第40回地盤工学シンポジウム論文集、pp.287~294, 1995.

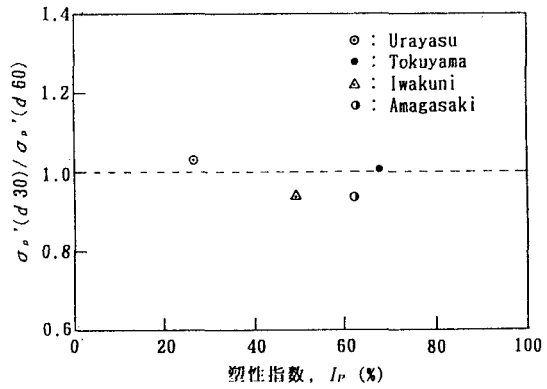


図-5  $\sigma_{p'}$ 比と $I_p$ の関係

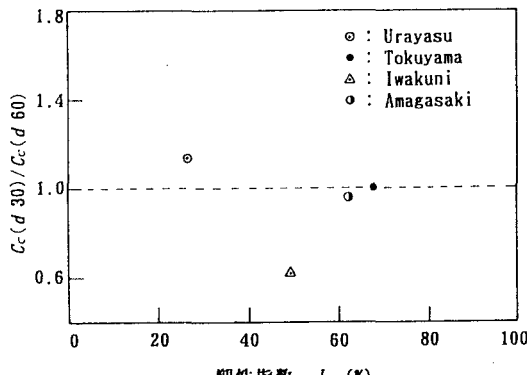


図-6  $C_s$ 比と $I_p$ の関係

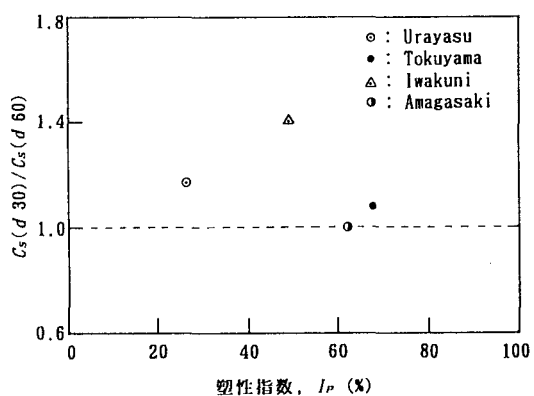


図-7  $C_s$ 比と $I_p$ の関係

- 2) 正垣ら：小径倍圧型水圧ピストンサンプラーの開発と試料の品質評価、第40回地盤工学シンポジウム論文集、pp.279~286, 1995
- 3) Shogaki, T., :A method for correcting consolidation parameters for sample disturbance using volumetric strain measured in standard oedometer tests, Soils and Foundations, 1995.